

川崎製鉄技報
KAWASAKI STEEL GIHO
Vol.13 (1981) No.4

オアベッド成分変動の低減

Reduction of Fluctuation in Chemical Composition of Fine Ore Bed

早瀬 鉱一(Kouichi Hayase) 佐藤 幸男(Yukio Sato) 山名 紳一郎(Shin-ichiro Yamana) 原田 崇試(Takashi Harada) 福田 明正(Akimasa Fukuda)

要旨：

焼結用オアベッド鉱および焼結鉱の成分変動の現状を調査し、オアベッド両端部の再積付、特殊鉱石の二重ブレンディング、積付モデルを使ってのシュミレーション結果の応用等のベッド長手および断面方向の成分変動減少対策を実施した。これらの対策により、焼結鉱 SiO₂ の標準偏差を従来の 0.15~0.19 から 0.06~0.09% に減少できた。

Synopsis :

Experiments and studies have been made to estimate the present state of fluctuation in the chemical composition of the fine ore bed and sintered ore. Re-stacking of bed ends, pre-bedding of special ores and stacking model simulation have been executed to reduce the longitudinal and cross-sectional fluctuations of the fine ore bed. The standard deviation of SiO₂ of sintered ore has been reduced from 0.15~0.19 to 0.06~0.09%

(c)JFE Steel Corporation, 2003

本文は次のページから閲覧できます。

オアベッド成分変動の低減

Reduction of Fluctuation in Chemical Composition of Fine Ore Bed

早瀬鉱一* 佐藤幸男**
Kouichi Hayase Yukio Sato

山名紳一郎*** 原田崇試****
Shin-ichiro Yamana Takashi Harada

福田明正*****
Akimasa Fukuda

Synopsis:

Experiments and studies have been made to estimate the present state of fluctuation in the chemical composition of the fine ore bed and sintered ore. Re-stacking of bed ends, pre-bedding of special ores and stacking model simulation have been executed to reduce the longitudinal and cross-sectional fluctuations of the fine ore bed. The standard deviation of SiO_2 of sintered ore has been reduced from 0.15 ~ 0.19 to 0.06 ~ 0.09 %.

1. 緒 言

高炉操業、銑鉄品質の安定性にとって、主原料である焼結鉱の成分、品質の安定はその基本となるものである。また、焼結鉱の安定性は、主として焼結用主原料であるオアベッド鉱の安定性に依存している。オアベッド鉱の代表的成分として、 SiO_2 をとり上げ、その変動を減少するため、各種調査、実験を行い、対策を実施した結果、焼結鉱の SiO_2 の標準偏差(σ_{SiO_2})を0.06~0.09%に減少できた。以下、オアベッド鉱成分変動の低減対策の概略について報告する。

2. 焼結鉱の σ_{SiO_2} の推移

焼結鉱は一般にTable 1に示すような化学組成を有している。

この中で CaO 、 MgO は焼結プロセスで添加する造渣剤によるものが主であり、また、Total·Feは造渣剤の量により変化する。そこで焼結プロセ

スへの影響が大きく、焼結の鉄鉱石主原料の成分とその変動を表わすことができる代表的化学成分として、 SiO_2 をとり上げ以下の検討を行った。

焼結鉱の成分変動は焼結鉱の SiO_2 の標準偏差(σ_{SiO_2})で表現できるが、成分変動防止対策は、焼結原料の主体であるオアベッド(Ore bed)鉱に対して実施した。

Photo. 1 は千葉製鉄所の粉鉱石ベッドであり、

Table 1 An example of chemical composition of sintered ore
(wt : %)

T. Fe	57.100
Mn	0.400
SiO_2	5.490
Al_2O_3	1.930
S	0.010
P	0.100
Cu	0.003
CaO	10.380
MgO	1.590
TiO_2	0.730
Zn	0.024

* 千葉製鉄所製鉄部製鉄技術室主査(課長)

** 千葉製鉄所製鉄部原料処理課掛長

*** 水島製鉄所製鉄部製鉄技術室主査(掛長)

**** 千葉製鉄所製鉄部原料処理課課長

***** 水島製鉄所製鉄部原料処理課課長

(昭和56年8月28日原稿受付)



Photo. 1 General view of fine ore bed, reclaimer and stacker in Chiba Works

右側が積付 (Stacking) 中、左側が払出 (Reclaiming) 中である。オアベッドには 1 パイル (Pile) 約 50 000 ~ 100 000t が積付けられ持続日数は 7 ~ 10 日間である。1 パイルには約 20 種類の鉱石が、600 ~ 700 層に積付けられる。

払出しは Fig. 1 に示すごとく、ダブルホイール

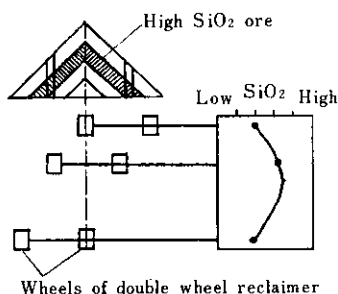


Fig. 1 Double wheel reclaiming and change of SiO_2 in a cross-section of bed

リクレーマー (Double wheel reclaimer) により行なわれるので、鉱石の積付法によっては、ダブルホイールが一断面を往復する間にも、本質的な成分変動が起る可能性がある。

払出されたオアベッド鉱は焼結工場へベルトコンベヤー (Belt conveyor) で送られ焼結鉱となる。

焼結鉱のサンプリングは自動サンプラーにより行っており、千葉製鉄所では 4 時間に内に 16 箇のインクリメントをサンプリングし、重合、縮分の後、分析し、4 時間に 1 箇のデータを出している。水島製鉄所では 2 時間に内に 12 箇のインクリメントをサンプリングし、2 時間に 1 箇のデータを出している。標準偏差 σ は千葉は 4 時間に、水島は 2 時間にデータを 1 ベッド分 (千葉は約 7 日分、水島は約 10 日分) 用いて計算している。

Fig. 2 に千葉・水島両製鉄所の焼結鉱の σ_{SiO_2}

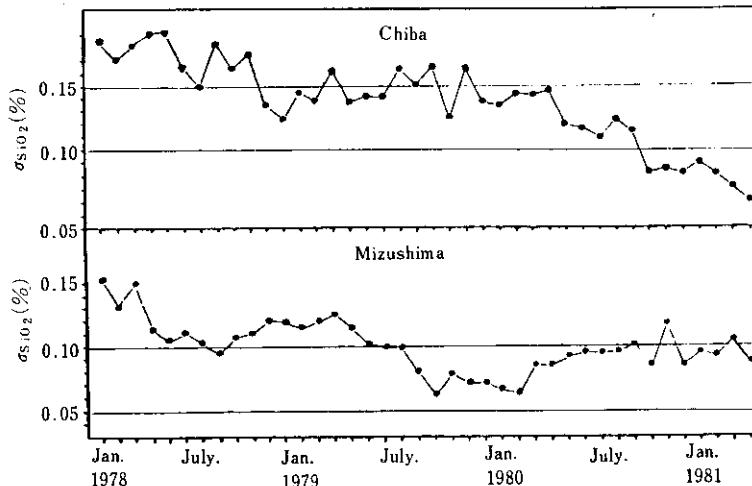


Fig. 2 Change of standard deviation of SiO_2 (σ_{SiO_2}) in sintered ore

の推移を示す。成分変動防止対策により、焼結鉱の σ_{SiO_2} が減少した。

3. 成分変動の実態

オアベッドでの成分変動の実態および、オアベッドからダブルホイールリクレーマーで払い出された後、焼結工場から出るまでの成分変動の変化を調査した。

Fig. 3のごとく、例えればベッドの6断面(A ~ F)につき各断面30箇のサンプリングを行い断面内および断面間の標準偏差を求めた。結果の一例を**Table 2**に示す。断面間に比し断面内の変動が大きい。このことは断面内各層が均一に積付けられておらず、又これをダブルホイールで払い出すことに起因している。

オアベッドからの払出し後、焼結工場出口までの時間遅れを考慮した上、サンプリング調査を行った。

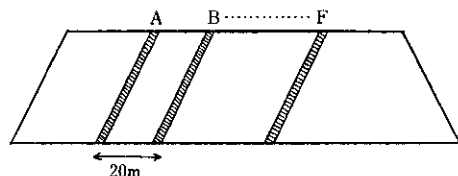


Fig. 3 Sampling of bedded ore from 6 cross-sections

Table 2 Examples of standard deviation of SiO_2 (σ_{SiO_2}) in ore bed

	Chiba	Mizushima
Within cross-section	0.956%	1.189%
Between cross-section	0.137%	0.158%
Total	0.965%	1.199%

行なった。水島での一例を**Fig. 4**に示す。ドラムミキサー(Drum mixer)で σ は減少しているが、給鉱ホッパーでの粒度偏析により、ドラムフィーダー(Drum feeder)上での σ はやや増加している。

4. オアベッド成分変動の低減対策

先ず、従来実施されてきた成分変動低減策について述べる。

オアベッドパイル横断面の各層厚は均一に積付けられる必要があるが、実際には鉄鉱石の種類により安息角、比重、粒度等が異なるので層厚分布が不均一になる。また積付け順序が不適正な場合は積付時の山裾への山崩れ又はリフレーミング時の断面での山崩れ現象が起ることがある。これらを防止し均一な層厚分布となるよう以下の様な対策をとっている。

(1) 成分が平均成分と非常に異なる鉱石は、パイ

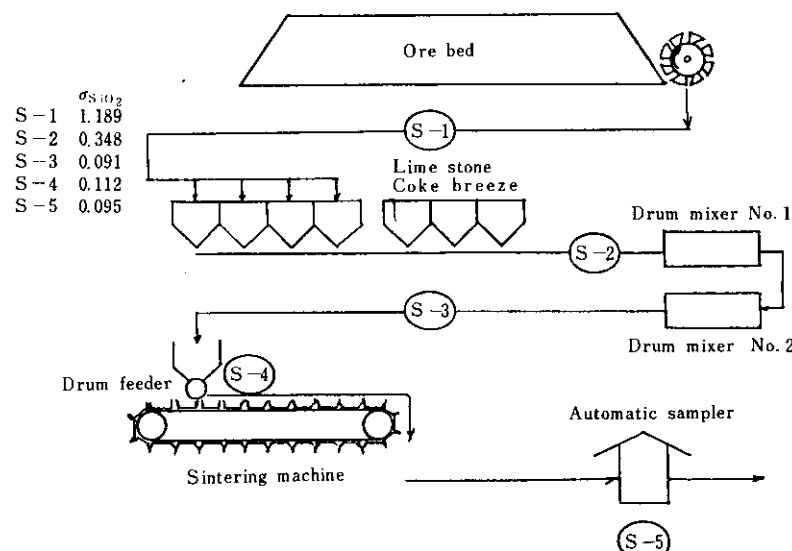


Fig. 4 Change of standard deviation (σ_{SiO_2}) through sintering process

ル総積付量の20~80%にあたる中間部に積付ける。

- (2) 比重の大きい鉱石は山崩れ現象を防止するため1ロット当りの積付量、給鉱量を少な目にする。
- (3) 安息角の異なる直粉と発生粉を交互に薄く組合せて積付することによりパイルの層面形状の均一化を図る。
- (4) 実績 σ_{SiO_2} の小さい積付例と同じになるよう、積付計画をたてる。

今回、更に成分変動を低減するため、以下の対策をとった。

4-1 オアベッド両端部の再積付

オアベッド1パイル内の成分 (SiO_2) 値の一例を Fig. 5 に示す。特にベッド両端部の成分変動が大きいので、ベッド両端部の鉱石すなわち各々全ベッドの約 2.5% (60 000t に対し各 1 500t) を次のベッドへ再積付することにした。その結果、Fig. 6 に示すごとく、従来法での $\sigma_{SiO_2} = 0.160\%$ に対し、ベッド両端部積付時には $\sigma_{SiO_2} = 0.126\%$ と改善された。

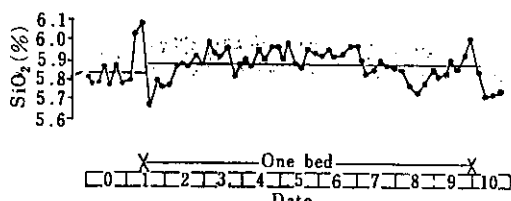


Fig. 5 An example of fluctuation of SiO_2 in a fine ore bed

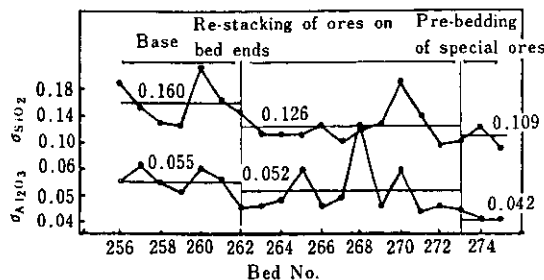


Fig. 6 Improvement of σ_{SiO_2} and $\sigma_{Al_2O_3}$ by re-stacking of ores on bed ends and pre-bedding of special ores

4-2 特殊鉱石の2重ブレンディング

積付中の荷切れ、開始・終了点の不一致等によってもベッド長手方向の成分変動が起る。特に蛇紋岩、珪石、ミルスケール、鉄マンガン鉱石等の特殊鉱石は Table 3 に示すように、オアベッド鉱石の平均成分と著しく異なっており、その影響が大きい。層厚を薄くし、層数を増せば変動は防止出来るが能率が下がり実用的でない。そこでFig. 7 のように特殊鉱石のみのベッドを別に作っておき、これと普通鉄鉱石とで本ベッドを積付ける2重ブレンディング法を採用した。Table 4 に2重ブレンディング法の一例を示す。Fig. 6 のように、二重ブレンディング法により変動が更に低減できた。

4-3 オアベッド長手方向の成分変動防止

Fig. 8 に示すように、ベッド長手方向の積付の不均一性によっても成分変動が起る。水島では積

Table 3 Comparison of chemical composition between average bedded ore and special ores (%)

	Average of bedded ore	Normal ore (Hammersley)	Serpentine	Mill scale	Manganese ore	Silica stone
T. Fe	60.2	62.3	5.5	72.8	22.1	-
Mn	0.43	0.05	0.10	0.46	33.91	-
SiO ₂	5.32	4.46	39.03	0.58	5.53	89.00
Al ₂ O ₃	1.74	2.84	1.10	0.22	5.57	5.73
S	0.044	0.025	0.007	0.034	0.005	0.012
P	0.097	0.068	0.006	0.011	0.044	-
Cu	0.004	0.002	-	0.039	0.011	-
CaO	4.231	0.07	1.19	0.19	1.16	0.20
MgO	1.55	0.04	38.27	0.10	0.36	-
TiO ₂	0.77	0.12	0.03	0.01	0.26	-
Zn	0.026	0.003	-	0.019	0.012	-

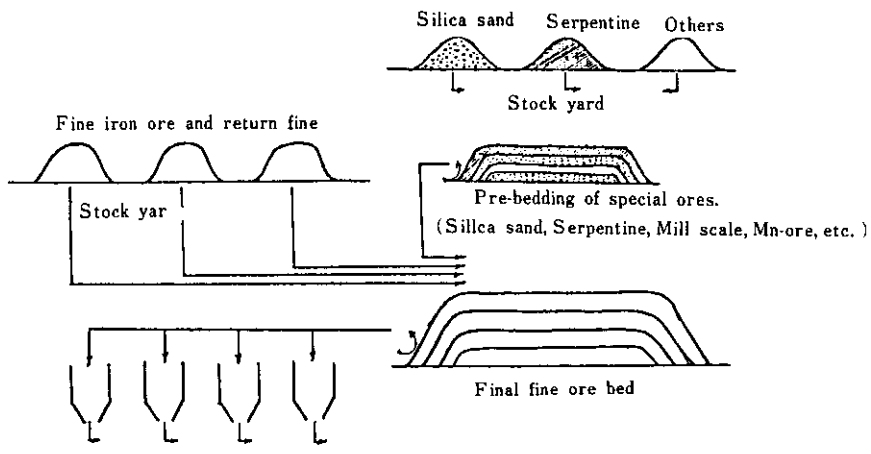


Fig. 7 Double blending of special ores

Table 4 An example for the double bedding of special ores

	Single bedded normal ores	Pre-bedded Special ores
Ore	Normal ores Return fines	Silica sand Serpentine Mill scale Mn-ore
Ammount stacked (t/bed)	47 250	9 750
Number of lots (lots/bed)	51	15
Number of layers(layers/bed)	550	120
Area	30m × 153m	

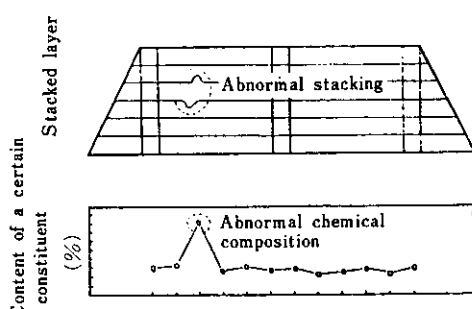


Fig. 8 Longitudinal fluctuation of chemical composition of bed

付量をメリックで測り実際のパイルの長手方向の成分変動を計算している。Fig. 9 に示すように、長手方向の積付量の変動が実際に計算どおり、成

分変動として現われているのがわかる。このため積付時の定量切出しの精度が重要でありその良い時と悪い時の例を Fig. 10 に示す。明らかに焼結

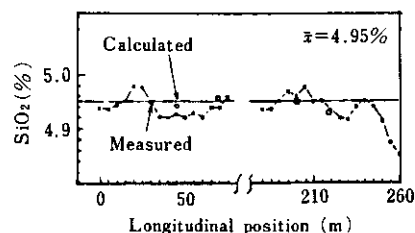
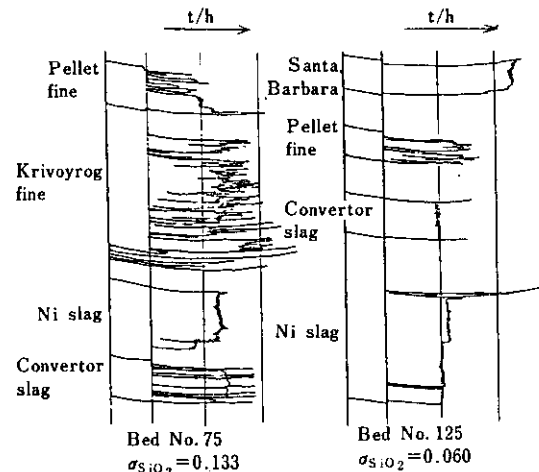


Fig. 9 Comparison of chemical composition between calculation and measurement

Fig. 10 Effect of uniformity of stacking on σ_{SiO_2}

鉱の αSiO_2 に影響が出ている。又長手方向の積付量変動を防止するため千葉では特殊鉱石についてベッド途中で積付が終った場合、次回の同種鉱石の積付時その場所を記憶しておき同一地点から積付を再開している。

一層当たりの積付量を小さくすることも改善策の一つである。積付能率を考慮し、特殊鉱石について一層当たりの積付量を制限している。この効果を示したものが Fig. 11 である。

4.4 オアベッド断面の成分変動防止

4.4.1 ベッド断面調査

ベッドには約20種類の鉱石を約60回に分けて積付けているが、比重、安息角、粒度の差により層厚分布は均一にならない。Photo. 2 は実際に手堀りで、あるベッド断面を調査した結果であり、層厚分布の不均一さを示している。

4.4.2 稽付順序の見直し

ベッド断面の偏析を少なくするため原料性状を考慮した積付を実施している。例えば砂鉄、キヤロルF、焼結返鉱、転炉滓等粘着性のない鉱石同志は積合せしない。また、ダスト等粘着性のある鉱石は特殊鉱石とは積合せしない。その一例が

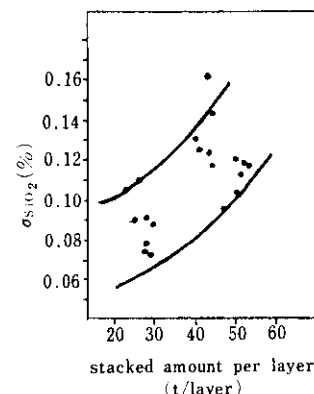


Fig. 11 Relation between σ_{SiO_2} and stacked amount per layer

Table 5 である。

4.4.3 ベッド断面方向の成分変動の推定

理想的にベッドが積付けられても、積付順序によつては、ダブルホイールリクレーマーで払い出す際に、断面内の成分変動がおこる。そこで、安息角を一定と見なして、理想的積付一払出のモデル計算を行い成分推定を試みた。**Fig. 12, 13** に千葉および水島における払出時の実測値とモデル計算値の対比を示す。 SiO_2 の計算値のベッド断面内の変化の傾向は、実績値と大まかに対応している。

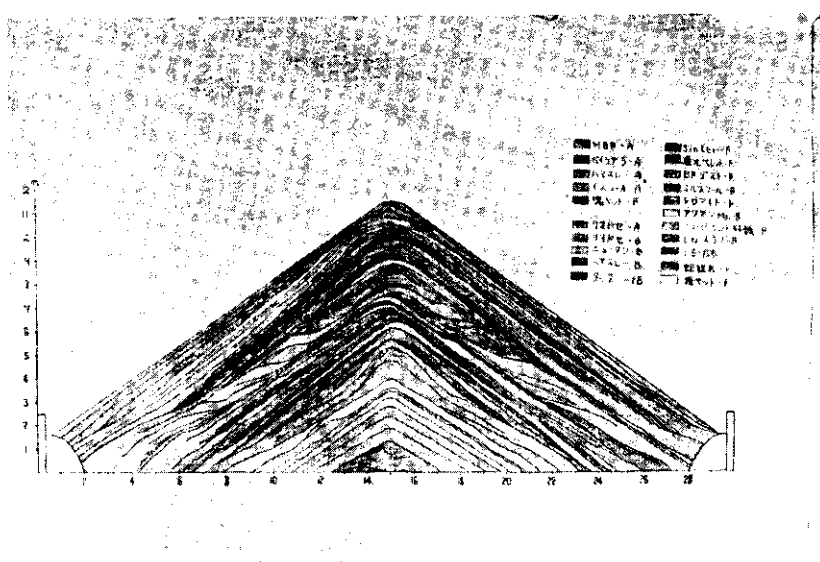
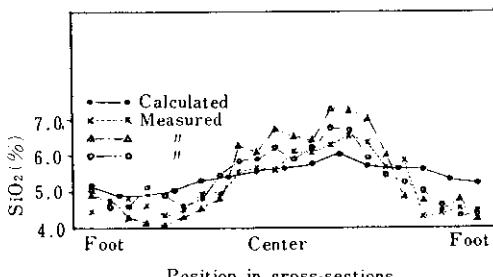
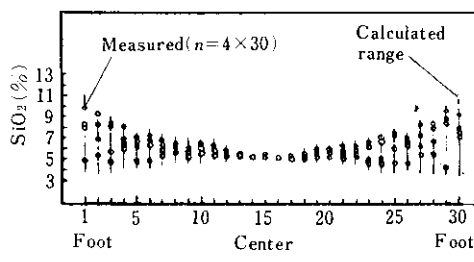


Photo 2 An example of cross sectional study of fine ore bed

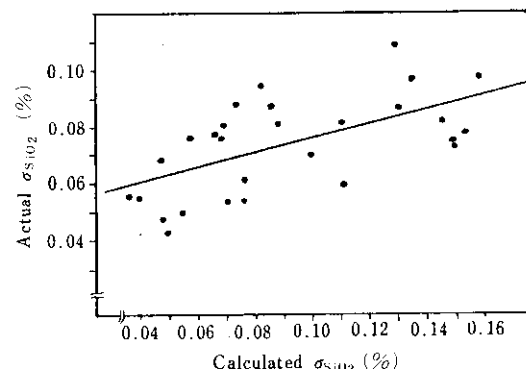
Table 5 An example of stacking schedule

Sort of ore	Order and amount of stacking					5
	1	2	3	4		
Hamersley	9 1 000(t)	16 1 000(t)		(t) 39 1 100(t)	51 1 100 (t)	
Mt. Newman	12 500	25 1 000			57 1 100	
Iscor		18 1 000		41 1 200		
Rio Doce	4 1 200		34 1 200	44 1 200		
Goa		14 900	28 900			
Goa-F		23 900	37 900			
Carol-F	5 1 250	17 1 200	33 1 300	42 1 300	52 1 200	
	10 1 300	26 1 300				
MBR-F	7 700				56 900	
Tasu-PF				49 1 100		
Re-stacking	2 1 500				53 1 500	
LD slag conc.	6 1 000		32 1 000			
LD slag	8 1 000		36 1 000		54 1 000	
Return-PSC	3 1 000					
Return	1 1 300	15 1 300	29 1 300	45 1 400	50 1 200	
	13 1 000	19 1 200	38 1 300			
Mill scale		22 1 100		48 1 000		
R. Pellet-F			30 500			
Iron sand	11 1 000	24 1 000	35 1 000	40 1 000		
Serpentine		21 300		47 350		
BF dust			27 500	43 600		
L-Bed fine		20 1 300	31 1 200	46 1 300	55 1 200	
Total (t)				60 000		

Fig. 12 Calculated and measured SiO₂ amount in cross-sections of bed pileFig. 13 Fluctuation of SiO₂ amount in cross-sections by insufficient mixing of double wheels

従って、ベッドの積付計画を作るに際し、前もって σ_{SiO_2} が小さくなるような積付順序を計算し選択している。

Fig. 14 は計算によるベッド断面の σ_{SiO_2} とベド毎の σ_{SiO_2} の実績値の関係を示している。

Fig. 14 Comparison of actual σ_{SiO_2} of sintered ore with calculated σ_{SiO_2} in ore bed

5. 結 言

焼結用オアベッド鉱の成分変動を減少させるこ
とは、焼結鉱さらには高炉の品質安定、操業安定
の基本となるものである。

オアベッド鉱の代表的成分として、 SiO_2 をと

り上げその変動を減少させた。その主な改善策と
して、オアベッド両端部再積付、特殊銘柄の2重
ブレンディングを行い、また、積付モデルシミュ
レーション結果を応用してベッドの長手方向の変
動とベッド断面方向の変動の減少をはかった。そ
の結果、焼結鉱の SiO_2 の標準偏差 (σ_{SiO_2}) を
0.06~0.09%に改善出来た。